

В задней поперечной проекции отчетливо визуализировалась дуга в виде экзогенных полос. Спинной мозг выглядел овальным гипозоногенным образованием без четких контуров с экзопозитивной точкой в центре за счет спинального канала.

Анатомия ШОП в МРТ изображении изучена у 32 новорожденных.

На T1-ВИ у пациентов центры оссификации тел позвонков имели сигнал низкой интенсивности овоидной формы. Хрящ у всех пациентов выглядел умеренно гиперинтенсивным, окаймляющим центры оссификации, и занимал приблизительно 1/2 высоты центра оссификации. Межпозвонковый диск в виде узкой полоски давал сигнал пониженной интенсивности. Остистые отростки на T1 - ВИ представлены в основном слабыми интенсивными сигналами в центре с окаймлением полоской сигнала пониженной интенсивности. Суставные отростки, дуги позвонков выглядели гипоинтенсивными.

На T2-ВИ тела позвонков у всех пациентов были преимущественно умеренно интенсивными, неоднородной структуры за счет гипоинтенсивных поперечных полос на границе хряща и костного центра оссификации. Хрящ, окаймляющий ядра окостенения, был представлен изоинтенсивной полосой и занимал около 1/2 высоты ядра окостенения. Межпозвонковые диски в шейном отделе выглядели равномерными по высоте гиперинтенсивными структурами. Остистые отростки представлены на T2-ВИ изоинтенсивными сигналами.

Спинной мозг занимал центральное положение в позвоночном канале на срединных сагиттальных срезах, гиперинтенсивен на T2-ВИ и изоинтенсивен на T1-ВИ, на шейном уровне имел утолщение. Субарханоидальные ликворные пространства более отчетливо видны на T1-ВИ изображениях в виде гипоинтенсивного сигнала, на T2-ВИ ликворные пространства гиперинтенсивные, менее отчетливые за счет пульсации ликвора.

Таким образом, лучевая визуализация структур ШОП новорожденных отличается рядом особенностей. Рентгенологическая интерпретация позвонков осложняется малым объемом оссифицированных частей. Наиболее сложной областью для интерпретации нормальной рентгеновской картины являются два верхних шейных позвонка.

Высокая гидрофильность структур позвоночника позволяет хорошо визуализировать как костные структуры позвоночника так и спинной мозг в ультразвуковом изображении.

Наибольшей информативностью при изучении анатомических структур позвоночника новорожденных обладает МРТ.

ДИНАМИКА СОДЕРЖАНИЯ ЦИКЛИЧЕСКИХ НУКЛЕОТИДОВ В СТРУКТУРАХ МОЗГА КРЫС В ИНИЦИАЛЬНОМ ПЕРИОДЕ СТРЕССА

Белякова Е.И.

Ростовский государственный педагогический университет, Ростов-на-Дону

Работа посвящена выявлению роли сдвигов в содержании вторичных посредников в структурах мозга, имеющих отношение к регуляции процессов нейросекреции в начальный период ноцицептивного воздействия.

Исследование выполнено 45 крысах-самцах линии Вистар массой тела 140-160 г. Состояние стресса моделировали одномоментной нешокогенной травмой мягких тканей бедра, которую наносили с помощью ударного механизма, дозирующего интенсивность ноцицептивного воздействия в пределах возникновения пороговой поведенческой реакции. Забор материала для исследования производили через 10-15 секунд и 2,5 минуты после стрессирования. Содержание циклического аденозинмонофосфата (цАМФ) и циклического гуанозинмонофосфата (цГМФ) определяли радиоиммунологическим методом в гомогенатах гипоталамуса и гипофиза.

Тотчас после нанесения болевого воздействия содержание цАМФ как в гипоталамусе, так и в гипофизе достоверно не менялось, что, по-видимому, могло объясняться исходно высокой активностью систем циклических нуклеотидов в этих отделах мозга. В более поздние сроки после воздействия (2,5 минуты) концентрация цАМФ увеличивалась в гипоталамусе и снижалась в гипофизе. Динамика содержания цГМФ в исследованных структурах мозга подчинялась иной закономерности. По ходу развития стресс-реакции уровень цГМФ стабильно возрастал с максимумом через 2,5 минуты. Разнонаправленность сдвигов в уровне циклических нуклеотидов сопровождалась в ткани мозга смещением индекса соотношения цАМФ/цГМФ в сторону избыточного накопления цГМФ.

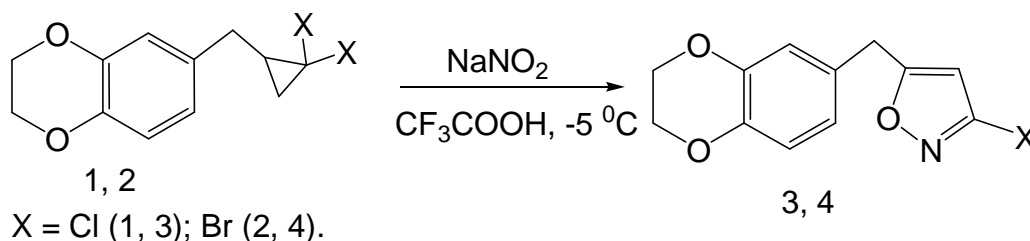
Как известно, действие центральных адренергических систем сопряжено с цАМФ-зависимым путем трансдукции сигнала. цГМФ-зависимый путь опосредует действие холин- и глутаматергических нейромедиаторных систем. Таким образом, выявленная нами тенденция к снижению индекса соотношения цАМФ/цГМФ в начальный период ноцицептивного воздействия свидетельствует о напряжении адаптационных систем организма, а также указывает на нарушение равновесия процессов анаболизма и катаболизма в организме в постстрессорном периоде и преобладании цГМФ-зависимых реакций метаболизма клетки в исследованных структурах мозга.

**ПОВЕДЕНИЕ
ГЕМДИГАЛОГЕНЦИКЛОПРОПИЛМЕТИЛ-1,4-
БЕНЗОДИОКСАНОВ В УСЛОВИЯХ РЕАКЦИИ
НИТРОЗИРОВАНИЯ**

Газзаева Р.А., Каджаева А.З.

Северо-Осетинский государственный
университет им. К.Л. Хетагурова,
Владикавказ

К настоящему времени производные изоксазола широко востребованы в химическом синтезе как субстраты для дальнейшей модификации. Из этих соединений получают природные биологически активные вещества и их аналоги – простаноиды, антибиотики, витамины, алкалоиды и т.д. [1].



Хлоризоксазол (3) и бромизоксазол (4) были охарактеризованы методами ЯМР ¹H-спектроскопии, масс-спектрометрии и данными элементного анализа.

СПИСОК ЛИТЕРАТУРЫ

1. А. Бараньски, В.И. Келарев, Химия природ. соединений, № 3-4, с.291 (1992)
2. Р.А. Газзаева, Ю.С. Шабаров, Л.Г. Сагинова, ХГС, № 3, с. 309, (1984)

**ТАКТИКА АНТИБАКТЕРИАЛЬНОЙ ТЕРАПИИ
ПАРОДОНТИТА, ОСНОВАННАЯ НА
РЕЗУЛЬТАТАХ МИКРОБИОЛОГИЧЕСКОГО И
МОЛЕКУЛЯРНО-ГЕНЕТИЧЕСКОГО
ИССЛЕДОВАНИЯ**

Плахтий ¹Л. Я., Валиева ¹М.В.,
Черткова ¹М.Г., Цховребов ²А.Ч.

¹ Институт биомедицинских исследований ВНИЦ РАН
и Правительства РСО-Алания, Владикавказ,

² Северо-Осетинская государственная
медицинская академия, Владикавказ

Болезни пародонта представляют в настоящее время одну из наиболее важных и сложных проблем стоматологии. По результатам анализа ВОЗ, собранных в 35 странах у лиц в возрасте 31- 44 лет, в 7 странах отмечена очень высокая (свыше 75%), в 13 странах высокая (40-75%) и в 15 странах – умеренная (менее 40%) распространённость заболеваний пародонта (Доклад экспертной группы ВОЗ, 2005г.). Исследование заболеваемости населения различных регионов нашей страны свидетельствует о высокой распространённости воспалительных заболеваний пародонта, причём данный показатель варьирует в зависимости от возраста (Т.И. Лемецкая, 1999, Г.М. Барер, 2003)

Известные пути получения изоксазолов основаны на реакциях 1,3-диполярного циклоприсоединения нитрилоксидов, генерируемых различными способами, к непредельным соединениям. Вместе с тем в литературе есть сведения получения изоксазолов из арилциклопропанов под действием различных нитрозирующих агентов. Например, известно, что арилциклопропаны реагируют с нитритом натрия в трифторуксусной кислоте с образованием 4,5 - дигидроизоксазолов [2].

Мы изучили поведение 6 - (гемм - дихлорциклопропилметил)-1,4-бензодиоксана и 6 - (гемм - дибромциклопропилметил) -1,4-бензодиоксана в реакции нитрозирования нитритом натрия в трифторуксусной кислоте. Продуктами реакций в обоих случаях оказались 5-арилизоксазолы (3,4).

Цель

Оптимизация комбинированной антибактериальной терапии генерализованного пародонтита на основании данных бактериологического и молекулярно-генетического исследования.

Материалы и методы

Проведено бактериологическое исследование в анаэробных условиях для определения маркерных пародонтопатогенных видов (по классификации ВОЗ). Идентификацию выделенных штаммов проводили на основании комплекса морфологических, культуральных и биохимических признаков. В частности, использовали тест-систему API An 20 (Франция) для идентификации бактерий анаэробной группы. Для быстрой и точной идентификации пародонтопатогенных бактерий в исследуемом материале применяли полимеразную цепную реакцию (ПЦР) с использованием ДНК-зондов (тест-система «MicroDent», Германия). Чувствительность к антибактериальным препаратам различных классов культур анаэробных и факультативно-анаэробных бактерий с определением минимальной подавляющей концентрации для 90% штаммов (МПК₉₀), выделенных у больных пародонтитом, осуществляли с помощью кассетного микрометода.

Результаты

Проведено обследование 36 пациентов с генерализованным пародонтитом в стадии обострения (24 — средней степени тяжести и 12 — тяжелым). В результате исследования установлено, что из 3-х основных маркеров (*P.intermedia*, *P.gingivalis*, *A.actinomicetecommitans*) совпадение положительных результатов бактериологического метода исследования и ПЦР наблюдалось в 63,6%, 55% и 35,7% случаев, соответственно. Кроме того, с помощью ПЦР при использовании системы «MicroDent» удалось выявить маркеры *B.forsithus*, *T.denticola* в 58,3% и 52,7% слу-